



# Einführung in Transformer-Architekturen neuronaler Netze

## Ausarbeitung Integrationsseminar

im Rahmen der Prüfung zum  
**Bachelor of Science (B.Sc.)**

des Studienganges Wirtschaftsinformatik Software Engineering  
an der Dualen Hochschule Baden-Württemberg Mannheim

von

**Alexander Meinecke**

Abgabedatum:	27. Januar 2025
Bearbeitungszeitraum:	Dezember 2024 - 27. Januar 2025
Matrikelnummer, Kurs:	1522347, WWI22SEB
Ausbildungsfirma:	SAP SE Dietmar-Hopp-Allee 16 69190 Walldorf, Deutschland
Gutachter:	Alexander Lütke

# Eidesstattliche Erklärung

Ich versichere hiermit, dass ich meine Ausarbeitung Integrationsseminar mit dem Thema:

*Einführung in Transformer-Architekturen neuronaler Netze*

gemäß § 5 der „Studien- und Prüfungsordnung DHBW Technik“ vom 29. September 2017 selbstständig verfasst und keine anderen als die angegebenen Quellen und Hilfsmittel benutzt habe. Die Arbeit wurde bisher keiner anderen Prüfungsbehörde vorgelegt und auch nicht veröffentlicht.

Ich versichere zudem, dass die eingereichte elektronische Fassung mit der gedruckten Fassung übereinstimmt.

Mannheim, den 24. Januar 2025

---

Meinecke, Alexander

# Inhaltsverzeichnis

Abbildungsverzeichnis	III
Abkürzungsverzeichnis	IV
1 Einleitung	1
1.1 Motivation und Ziel der Arbeit . . . . .	1
1.2 Aufbau der Arbeit . . . . .	1
2 Grundlagen	2
2.1 Neuronale Netze . . . . .	2
2.2 Neuronale Netze für Textverarbeitung . . . . .	2
3 Die Funktionsweise von Scaled Dot-Product Attention	4
3.1 Generierung von Embeddings . . . . .	4
3.2 Lineare Transformation in Query-, Key- und Value-Matrizen . . . . .	5
3.3 Berechnung und Einbeziehung von Attention-Scores . . . . .	6
4 Transformer-Architektur im Detail	9
4.1 Multi-Head-Attention . . . . .	9
4.2 Positional Encodings . . . . .	10
4.3 Addition und Normalisierung . . . . .	10
4.4 Feed-Forward-Schicht . . . . .	11
4.5 Encoder . . . . .	12
4.6 Decoder . . . . .	13
5 Fazit	15
Literaturverzeichnis	VI

# Abbildungsverzeichnis

2.1	RNN als Vorgänger zum Transformer . . . . .	3
3.1	Heatmap der gewichteten Attention Scores . . . . .	7
3.2	Übersicht zur Errechnung von Attention Scores . . . . .	8
4.1	Scaled-Dot-Product-Attention und Multi-Head-Attention . . . . .	9
4.2	Feed-Forward-Schicht im Transformer . . . . .	12
4.3	Transformer-Architektur aus Vaswani u. a. 2017, S. 3 . . . . .	14

# Abkürzungsverzeichnis

<b>BERT</b>	Bidirectional Encoder Representations from Transformers
<b>dmodel</b>	Dimension des Modells
<b>GPT</b>	Generative Pre-trained Transformer
<b>K</b>	Key-Matrix
<b>ML</b>	Machine Learning
<b>PE</b>	Positional Encoding
<b>Q</b>	Query-Matrix
<b>ReLU</b>	Rectified Linear Unit
<b>RNN</b>	Recurrent Neural Network
<b>T5</b>	Text-to-Text Transfer Transformer
<b>V</b>	Value-Matrix

# 1 Einleitung

Transformer-Architekturen haben die Landschaft der neuronalen Netze revolutioniert und neue Maßstäbe in Bereichen wie maschineller Übersetzung, Textgenerierung und Sprachverarbeitung gesetzt.

## 1.1 Motivation und Ziel der Arbeit

Der Grund, warum Transformer im Bereich der Textanalyse und -verarbeitung so gut sind, ist ihre einzigartige Architektur. Sie sind dadurch viel effizienter, schneller und erzielen auch bessere Ergebnisse als alternative Architekturansätze. Die klassische Transformer-Architektur wurde 2017 in einem Paper mit dem Titel „Attention is All You Need“ vorgestellt (vgl. Vaswani u. a. 2017). Diese Grundlagen zu verstehen, ermöglicht es auch, bekannte Modelle wie BERT, GPT oder T5 zu verstehen. Ziel dieser Arbeit ist es, dem Leser ohne viel Vorwissen die klassischen Konzepte der Transformer-Architektur im Kontext der Textverarbeitung zu verdeutlichen.

## 1.2 Aufbau der Arbeit

Zunächst werden im folgenden Kapitel dem Leser Grundlagen von neuronalen Netzen vermittelt, die helfen, die Notwendigkeit von Transformern in der Geschichte von neuronalen Netzen zu verstehen. Anschließend wird sich ein Kapitel mit dem Kernkonzept von Transformern beschäftigen, das dem Model hilft, den Kontext von Texten schnell und effizient zu analysieren. Dies wird zusätzlich mit einem praktischen Beispiel erläutert. Darauf folgt die Erklärung der Transformer-Architektur und ihrer Komponenten im Detail. Am Ende folgt noch ein Fazit, das noch einmal die wichtigsten Aspekte zusammenfasst.

## 2 Grundlagen

Um zu verstehen, wie Transformer funktionieren, muss zunächst ein kurzer Überblick über neuronale Netze gegeben werden.

### 2.1 Neuronale Netze

Neuronale Netze sind ein Teilgebiet des maschinellen Lernens. Sie sind trainierbar und können die gesammelten Erfahrungen auf neue Daten anwenden. Neuronale Netze orientieren sich an der Struktur des menschlichen Gehirns (vgl. Kinnebrock 2018, S. 14). Sie bestehen aus mehreren Schichten von Neuronen (vgl. Kinnebrock 2018, S. 25).

Es gibt dabei eine Eingabe- und Ausgabeschicht sowie mehrere versteckte Schichten, in denen die eigentliche Verarbeitung stattfindet. Jedes Neuron verarbeitet seine eigenen Daten, gewichtet sie und addiert sie mit den Ergebnissen der vorherigen Schicht. Dieses Ergebnis wird dann an die Aktivierungsfunktion weitergegeben, um die nächsten verbundenen Neuronen anzusteuern. Diese Funktion bestimmt, ob das Neuron „feuert“ und das Signal weitergeleitet wird (vgl. Kinnebrock 2018, S. 14).

Über die Jahre haben sich neuronale Netze besonders für Anwendungen wie Bildanalysen als äußerst effektiv erwiesen (vgl. Paaß und Hecker 2020, S. 16). Doch ein Problem war lange die Textanalyse und -verarbeitung (vgl. Paaß und Hecker 2020, S. 22). Hier besteht die Herausforderung darin, dass Informationen nicht wie bei einem Bild simultan erfasst werden können. Um den Sinn eines Satzes zu verstehen, muss der Inhalt schrittweise verarbeitet werden.

### 2.2 Neuronale Netze für Textverarbeitung

Für Textanalysen, Übersetzungen oder Zusammenfassungen wurden lange Zeit Recurrent Neural Networks (RNNs) verwendet (siehe Abb. ref:rnn). RNNs analysieren einen Text sequentiell und verknüpfen jedes Wort mit dem Kontext aus dem vorhergehenden Wort (vgl. Vaswani u. a. 2017, S. 2).

Doch RNNs haben Schwächen (vgl. Vaswani u. a. 2017, S. 2) (vgl. Paaß und Hecker 2020, S. 208). Sie haben Schwierigkeiten, den Kontext von größeren Texten vollständig zu erfassen. Außerdem ist die sequentielle Verarbeitung ineffizient und schlecht auf moderne Hardware optimiert, die auf Parallelverarbeitung ausgelegt ist.

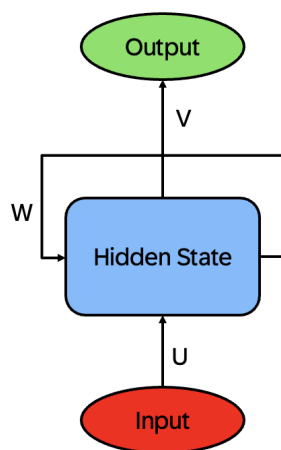


Abbildung 2.1: RNN als Vorgänger zum Transformer

Um diese Probleme zu lösen, wurde eine neue Art neuronaler Netze entwickelt: die Transformer.



# 3 Die Funktionsweise von Scaled Dot-Product Attention

Transformer arbeiten mit dem zentralen Baustein die Scaled Dot-Product Attention, auch bekannt als Self-Attention (vgl. Vaswani u. a. 2017, S. 4). Dies ist ein Algorithmus, der letztendlich Zusammenhänge zwischen Wörtern, z. B. in einem Text, aufzeigt. Wörter werden in Form von Tokens verarbeitet, die ganze Wörter oder Wortteile sein können. Jeder Token ist einzigartig und wird zunächst nur durch eine natürliche Zahl repräsentiert.

## 3.1 Generierung von Embeddings

Grundlage jedes Attention-Zyklus sind Eingabe-Tokens. Um die mathematische Vorgehensweise besser zu veranschaulichen, wird im Folgenden der Satz „Ich sitze auf der Bank“ als Beispiel verarbeitet. Dafür wird auf das Transformer-Model „BERT“ (eng. Bidirectional Encoder Representations from Transformers) zurückgegriffen. Jedes dieser Wörter ist ein eigener Token, der vor der Eingabe in den Attention-Zyklus vom Transformer übersetzt wird: „[CLS]“, „Ich“, „s“, „itze“, „auf“, „der“, „Bank“, „[SEP]“. „[CLS]“ ist ein Klassifizierungstoken, der am Anfang jeder Eingabesequenz eingefügt wird. „[SEP]“ trennt verschiedene Teile dieser Eingabesequenz (vgl. Paaß und Hecker 2020, S. 221). Diese Tokens sehen für das Model wie folgt aus: [3, 1671, 19, 3031, 115, 21, 2565, 4]. Die Herausforderung für den Transformer besteht darin, aus dem Kontext der anderen Tokens zu erkennen, ob „Bank“ eine Sitzbank oder das Finanzinstitut Bank bedeutet.

Jeder Token bildet ein Schlüssel-Werte-Paar (vgl. Paaß und Hecker 2020, S. 172). Der korrespondierende Wert hinter einem Token ist ein Vektor, der die Bedeutung eines Tokens hinsichtlich mehrerer Dimensionen beschreibt. Diese Vektoren sind aus Trainingsdaten des Transformer-Modells entstanden.

Im ersten Schritt des Attention-Zyklus wird jeder Token in den dazugehörigen Vektor übersetzt. Diese Vektoren werden in der Matrix  $\mathbf{X}$  gespeichert, wobei jede Zeile einen Token repräsentiert. Dieser Prozess wird als **Embedding** bezeichnet. Jeder dieser Vektoren hat gemäß der Literatur mindestens 512 Dimensionen (vgl. Vaswani u. a. 2017, S. 3). Es wird von einem  $d_{\text{model}} = 512$  gesprochen. Es gilt: Je größer das  $d_{\text{model}}$ , desto präziser kann der Transformer die Zusammenhänge zwischen Tokens erkennen.

Wenn sich Tokens im Vektorraum nahe liegen, haben sie eher Gemeinsamkeiten im Vergleich zu Tokens, die weit auseinander liegen. Angenommen, es gäbe nur ein  $d_{\text{model}} = 2$  für jeden Token, könnten diese

zwei Dimensionen als Koordinaten genutzt werden, um Zusammenhänge visuell als Cluster in einem Koordinatensystem darzustellen. Hier wären beispielsweise die Tokens „Hund“ und „Katze“ nah beieinander.

Für das oben genannte Beispiel nehmen verwendet das BERT-Model ein  $d_{\text{model}} = 768$  (vgl. Devlin u. a. 2019, K. 3). So ergibt sich eine Embedding-Matrix  $\mathbf{X}$  mit 8 Zeilen für 8 Tokens und 768 Spalten für jeweils 768 Dimensionen, die hier der Übersicht halber gekürzt wurden:

$$\mathbf{X} = \begin{bmatrix} 0.7253 & 0.5980 & 0.3832 & -0.4561 & -0.4408 & \dots \\ -0.0426 & 0.5711 & 0.5014 & 0.0966 & 0.2337 & \dots \\ -0.1419 & -0.3099 & 0.6065 & -0.7789 & -1.4375 & \dots \\ 0.3103 & 0.6196 & 0.5179 & -0.3268 & -1.1570 & \dots \\ 0.4239 & 0.1928 & 0.5373 & -0.3288 & 0.5128 & \dots \\ 0.2884 & -0.1722 & 0.5571 & -0.8964 & 0.9640 & \dots \\ 0.1143 & -0.7712 & 0.7079 & -0.4984 & 0.4281 & \dots \\ 0.8331 & 1.5817 & 1.6687 & -0.6492 & 0.2110 & \dots \end{bmatrix}$$

## 3.2 Lineare Transformation in Query-, Key- und Value-Matrizen

Die Embedding-Matrix  $\mathbf{X}$  wird durch drei Gewichtungsmatrizen  $\mathbf{W}_Q$ ,  $\mathbf{W}_K$  und  $\mathbf{W}_V$ , die aus dem Training des Transformer-Modells stammen, in drei neue Matrizen transformiert (vgl. Paaß und Hecker 2020, S. 209):

$$\mathbf{Q} = \mathbf{X} \cdot \mathbf{W}_Q$$

$$\mathbf{K} = \mathbf{X} \cdot \mathbf{W}_K$$

$$\mathbf{V} = \mathbf{X} \cdot \mathbf{W}_V$$

Die drei Matrizen haben im Attention-Zyklus umgangssprachlich formuliert folgende Funktionen:

- **Query-Matrix (Q):** Was fragt ein Token?
- **Key-Matrix (K):** Welche Tokens im Kontext antworten am besten auf die Frage?
- **Value-Matrix (V):** Erlernten Informationen über ein Token.

Im Beispiel sehen die jeweiligen Zeilen der Matrizen  $\mathbf{Q}$ ,  $\mathbf{K}$ ,  $\mathbf{V}$  für das Token „Bank“ folgendermaßen aus:

$$Q_{\text{Bank}} = [-0.13, 0.11, 0.37, 0.37, \dots], \quad K_{\text{Bank}} = [0.33, 0.14, 0.20, 0.14, \dots], \quad V_{\text{Bank}} = [0.44, 0.43, 0.60, 0.55, \dots]$$

### 3.3 Berechnung und Einbeziehung von Attention-Scores

Um die Relevanz zwischen  $Q$  und  $K$  zu messen, wird jeweils das Skalarprodukt zwischen jedem Tokenvektor von  $Q_T$  und  $K_T$  gebildet (vgl. Paaß und Hecker 2020, S. 209). Also im Beispiel wird unter anderem der Tokenvektor  $Q_{\text{Bank}}$  mit jedem Tokenvektor  $K_T$  multipliziert.

Die berechneten Attentionscores müssen noch zwei Verfahren unterlaufen. Einmal ist das die Fokussierung und Normalisierung der Attentionscores mit der **Softmax-Funktion**.

$$\text{Softmax}(x_i) = \frac{\exp(x_i)}{\sum_j \exp(x_j)}$$

$x$  ist der jeweilige aktuell zu betrachtende Attention-Score-Vektor.  $i$  ist der aktuell zu betrachtende Werteindex in diesem Vektor.  $j$  ist die Gesamtanzahl an Werten in  $x$ .

Bei der **Fokussierung** werden höhere Attention-Score-Werte zwischen **Q** und **K** exponentiell bevorzugt. Analog dazu werden niedrigere Attention-Score-Werte exponentiell nach unten bewertet. Bei der zweiten Aufgabe der Softmax-Funktion, der **Normalisierung**, werden die Attention-Score-Werte pro Score-Vektor in Wahrscheinlichkeiten zwischen 0 und 1 transformiert, wobei die Summe jedes Attention-Score-Vektors immer 1 ist (vgl. Feng u. a. 2025, K. II.B).

Damit die Softmax-Funktion aber optimal funktionieren kann, müssen die Werte in den Attention-Score-Vektoren erst einmal „dimensioniert“ werden. Bei geläufigen Transformermodellen wird wie oben beschrieben, ein  $d_{\text{model}}$  von mindestens 512 verwendet. Durch diese großen Dimensionen entehen bei der Berechnung von den Attention-Scores durch die Aufsummierung bei der Bildung des Skalarprodukte sehr große Werte. Diese großen Werte sorgen dafür, dass die Softmax-Funktion viele Q-K-Beziehungen sehr hoch bewertet und so der Transformer sich nicht auf die tatsächlich vielversprechenden Verbindungen konzentrieren kann. Die Weiterverarbeitung wird so ungenau.

Um hohe Attention-Score-Werte zu normalisieren, werden die Attention-Score-Vektor-Werte durch  $\sqrt{d_{\text{model}}}$  geteilt und so für die Softmax-Funktion in einen stabilen Bereich gebracht (vgl. Vaswani u. a. 2017, S. 4). So kann ein Transformer auch kleine Relevanzunterschiede in der Token-Beziehung berücksichtigen. Hier beispielsweise für das Attention-Score-Array von „Bank“:

$$\frac{\text{Scores}_{\text{Bank}}}{\sqrt{768}} = [-1.203, -1.637, -0.721, -0.814, \dots]$$

$$\text{Softmax}\left(\frac{\text{Scores}_{\text{Bank}}}{\sqrt{768}}\right) = [0.088, 0.060, 0.0996, 0.0786, \dots]$$

Damit diese nun umgewandelten Attention-Score-Wahrscheinlichkeiten in den weiteren Verarbeitungsschritten berücksichtigt werden können, werden sie mit der  $V$ -Matrix multipliziert (vgl. Vaswani u. a. 2017, S. 4). Das zeigt dem Modell, zu wie viel Prozent der erlernten Informationen zu einem Token im nächsten Schritt einfließen. Insgesamt sieht das Verfahren folgendermaßen aus:

$$\text{Attention}(Q, K, V) = \text{Softmax}\left(\frac{QK^T}{\sqrt{d_{\text{model}}}}\right)V$$

Diese Berechnung wurde auch auf das das begleitende Beispiel angewendet. Wenn die Beziehungen zwischen den Token in einer Heatmap visualisiert werden, lässt sich so z.B. erkennen, dass das Model einen hohen Zusammenhang zwischen „s“, „itze“ und „Bank“ erkannt hat (siehe 3.1). So kann aus dem Kontext erschlossen werden, dass es sich bei Sitzen und Bank wahrscheinlich um eine Sitzbank handelt und nicht um das Finanzinstitut.



Abbildung 3.1: Heatmap der gewichteten Attention Scores

Der Vorgang hinter der „Scaled Dot-Product Attention“ ist nocheinmal in der Abbildung 4.3 zusammengefasst.

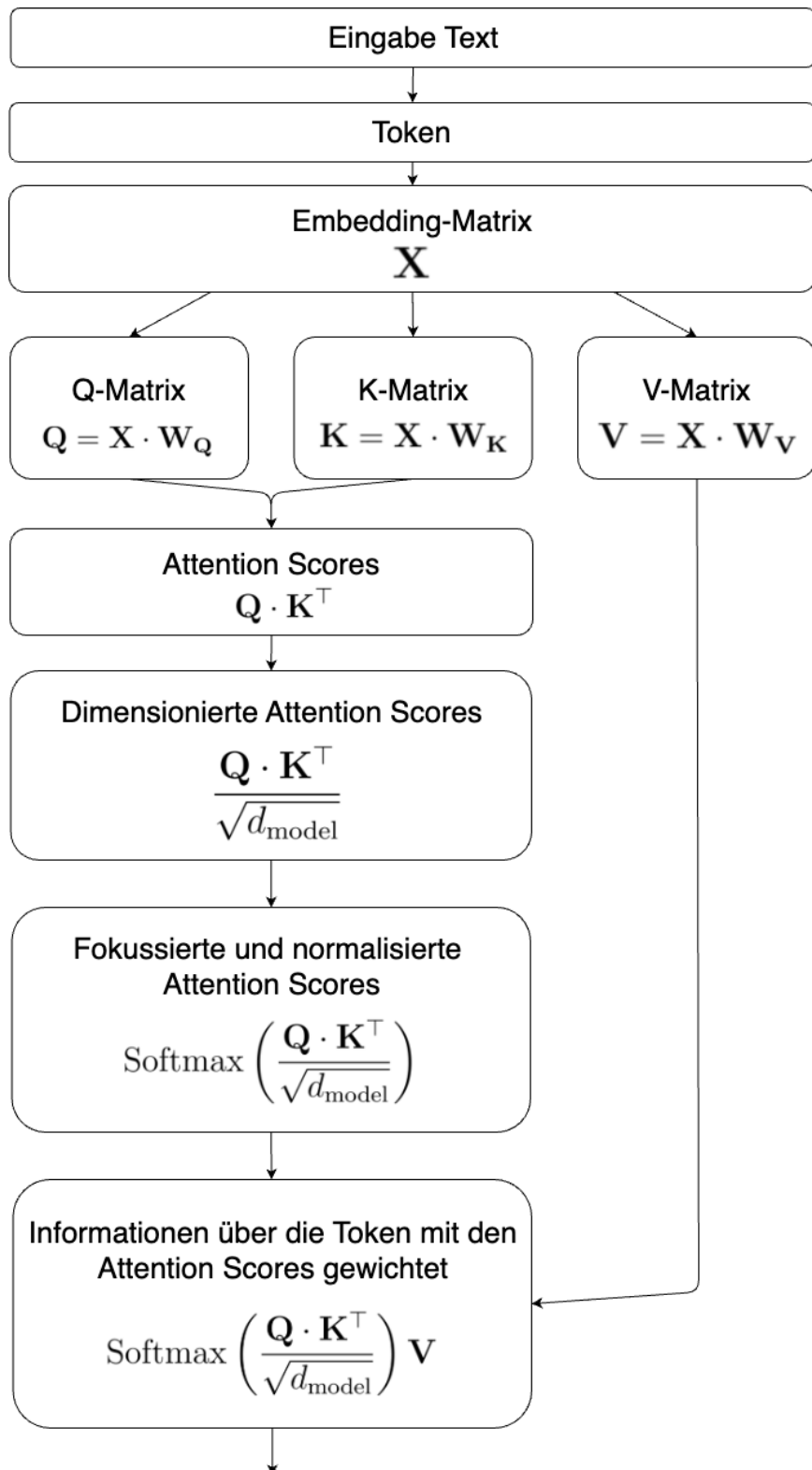


Abbildung 3.2: Übersicht zur Errechnung von Attention Scores

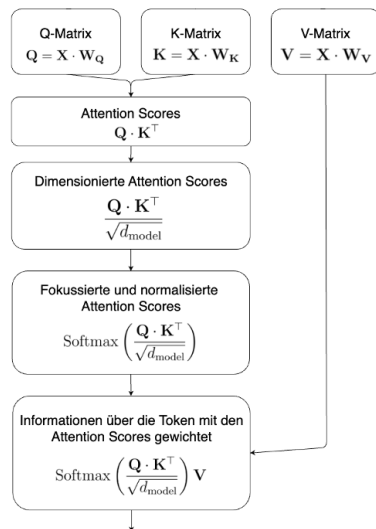
## 4 Transformer-Architektur im Detail

Im ursprünglichen Werk *Attention Is All You Need*, in dem das grundlegende Transformer-Architektur vorgestellt wurde, besteht ein Transformer aus zwei Hauptmodulen: dem Encoder und dem Decoder (vgl. Vaswani u. a. 2017, S. 3). Um die Architektur eines Transformers besser zu verstehen, müssen zunächst die Komponenten betrachtet werden, die in Encoder und Decoder eingesetzt werden.

### 4.1 Multi-Head-Attention

Wie schon im vorherigen Kapitel beschrieben, ist „Scaled Dot-Product Attention“ ein zentraler Baustein in der Transformer-Architektur. Um Transformer noch effizienter zu gestalten, wird Scaled Dot-Product Attention in Form der **Multi-Head-Attention** angewendet (siehe Abb. 4.1). Dabei beschreibt jeder einzelne Kopf einen eigenen Attention-Zyklus, wie oben beschrieben (vgl. Paaß und Hecker 2020, S. 211).

#### Scaled Dot-Product Attention



#### Multi-Head Attention

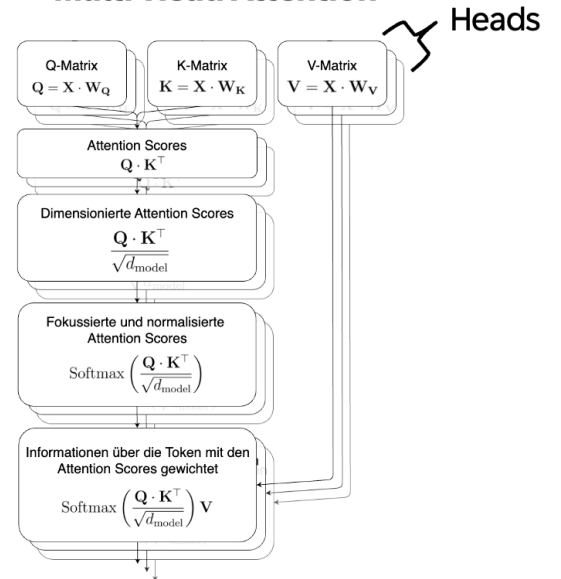


Abbildung 4.1: Scaled-Dot-Product-Attention und Multi-Head-Attention

Jeder Kopf verwendet unterschiedliche Gewichtungsmatrizen, um den Fokus bei der Analyse der Zusammenhänge zwischen Tokens auf verschiedene Schwerpunkte zu setzen (vgl. Vaswani u. a. 2017, S. 5). So kann beispielsweise ein Kopf die Tokens hinsichtlich syntaktischer Beziehungen analysieren, während ein anderer die semantischen Beziehungen betrachtet. Für jeden Attention-Kopf  $h$  werden dabei unterschiedliche Gewichtungsmatrizen  $W_{Qh}$ ,  $W_{Kh}$  und  $W_{Vh}$  verwendet.

Nach der parallelen Verarbeitung werden die jeweiligen Ergebnisse der Köpfe zusammengefügt (auch als Konkatenieren bezeichnet) und mit Hilfe einer weiteren Gewichtungsmatrix  $\mathbf{W}_O$  zusammengefasst (vgl. Vaswani u. a. 2017, S. 5).  $\mathbf{W}_O$  ist die Matrix, welche die Ergebnisse der Attention-Köpfe unterschiedlich gewichtet. Umgangssprachlich formuliert bildet sie eine einheitliche Schlussfolgerung für den Transformer aus dem Multi-Head-Attention-Zyklus.

## 4.2 Positional Encodings

Ein Problem bei der einfachen Verwendung von Scaled Dot-Product Attention ist, dass die tatsächliche Reihenfolge der Tokens verloren geht. Der Grund dafür ist, dass bei dem Attention-Algorithmus alle Zusammenhänge zwischen Token parallel ermittelt werden und nicht Wort für Wort (vgl. Vaswani u. a. 2017, S. 6). Das Ergebnis ist somit unabhängig von der Reihenfolge der Tokens. Der Algorithmus kommt so für die Wortfolge „Katze jagt Hund“ und „Hund jagt Katze“ zum den gleichen Ergebnis, obwohl die semantische Bedeutung offensichtlich eine andere ist.

Hier kommt das **Positional Encoding** ins Spiel. Dabei werden zu den ursprünglichen Embeddings, die aus den Tokens generiert wurden, Positionsdaten hinzugefügt, die der Transformer erkennen kann (vgl. Vaswani u. a. 2017, S. 6). Hierfür verwendet man abwechselnd Sinus- und Cosinus-Funktionen:

$$PE_{(pos, 2i)} = \sin\left(\frac{pos}{10000^{\frac{2i}{d_{model}}}}\right), \quad PE_{(pos, 2i+1)} = \cos\left(\frac{pos}{10000^{\frac{2i}{d_{model}}}}\right)$$

Hierbei ist  $pos$  die Position des Tokens in der Wortfolge,  $i$  ist die aktuell zu betrachtende Dimension für diesen Token, und  $d_{model}$  ist die Anzahl der Dimensionen im Model.

Die unterschiedlichen Frequenzen der Sinus- und Cosinus-Funktionen ermöglichen es, dass jede Dimension des Embeddings anders auf die Position reagiert. Sinus und Cosinus haben eine periodische Struktur, die es dem Transformer erlaubt, die Position der Tokens in der ursprünglichen Eingabe sowie die Positionsunterschiede zwischen Tokens zu ermitteln. Die abwechselnde Verwendung dieser Funktionen sorgt dafür, dass sie sich nie überlagern und somit unabhängige Informationen darstellen (vgl. Paaß und Hecker 2020, S. 208).

## 4.3 Addition und Normalisierung

Die Addition-und-Normalisierung-Komponente bewahrt originale Eingabeinformationen, die durch die schrittweise Verarbeitung im Transformer verloren gehen könnten. Nach jeder Verarbeitung, beispielsweise durch die Multi-Head-Attention, werden die Ausgabewerte mit den ursprünglichen Eingabewerten  $x_i$  addiert

. Dadurch bleiben die Originalinformationen auch für nachfolgende Komponenten verfügbar (vgl. Xiong u. a. 2020, K. 3).

$$z_i = x_i + \text{SubkomponentenOutput}_i$$

Bei der Normalisierung wird berechnet, wie viele Standardabweichungen ein Wert  $z_i$  vom Mittelwert entfernt ist. Dadurch werden die Werte standardisiert, indem die Verteilung zentriert (Mittelwert  $\mu$  wird 0) und skaliert (Standardabweichung  $\sigma$  wird 1) wird. Anschließend werden die Werte abhängig vom Modelltraining durch Streckung (mit  $\gamma$ ) und Verschiebung (mit  $\beta$ ) angepasst (vgl. Xiong u. a. 2020, K. 3). Diese Anpassung macht die Normalisierung flexibel und trainierbar.

$$\hat{z}_i = \frac{z_i - \mu}{\sigma}$$

$$y_i = \gamma \cdot \hat{z}_i + \beta$$

## 4.4 Feed-Forward-Schicht

Während **Multi-Head-Attention** lineare Zusammenhänge zwischen Tokens berechnet, benötigt der Transformer eine zusätzliche Komponente, um nicht-lineare Zusammenhänge zu erfassen. Hierfür wird die **Feed-Forward-Schicht** verwendet, die die addierten und normalisierten Ergebnisse aus der Multi-Head-Attention-Schicht weiterverarbeitet (vgl. Vaswani u. a. 2017, S. 5).

Die Feed-Forward-Schicht ist ein neuronales Netzwerk, das aus zwei linearen Transformationen mit einer nicht-linearen Aktivierungsfunktion in der Mitte besteht. Im ersten Schritt wird die Eingabematrix mit der Gewichtungsmatrix  $W_1$  multipliziert, was die erste Schicht des neuronalen Netzes darstellt. Dabei entsteht eine Matrix mit viermal so vielen Dimensionen wie der Eingabematrix, die anschließend um einen Bias-Wert  $b_1$  erweitert wird. Danach wird die erste Schicht durch die nicht-lineare Aktivierungsfunktion **ReLU** (eng. Rectified Linear Unit) mit der zweiten Schicht verbunden (vgl. Paaß und Hecker 2020, S. 212). Die ReLU-Funktion hat eine einfache nicht-lineare Eigenschaft: Wenn ein Eingabewert negativ ist, wird er zu 0; wenn er positiv ist, bleibt er unverändert und es bleibt bei einem linearen Zusammenhang:

$$\text{ReLU}(x) = \max(0, x)$$

Somit werden nur die positiven Werte in der weiteren Verarbeitung berücksichtigt.

In der zweiten Schicht werden die Werte aus der ReLU-Funktion mit der zweiten Gewichtungsmatrix  $W_2$  multipliziert und somit wieder auf die ursprüngliche Eingabegröße skaliert. Auch hier wird der resultierende



Vektor durch einen Bias-Wert  $b_2$  ergänzt (vgl. Vaswani u. a. 2017, S. 5). Insgesamt kann die Feed-Forward-Schicht wie in Abb. 4.2 dargestellt werden.

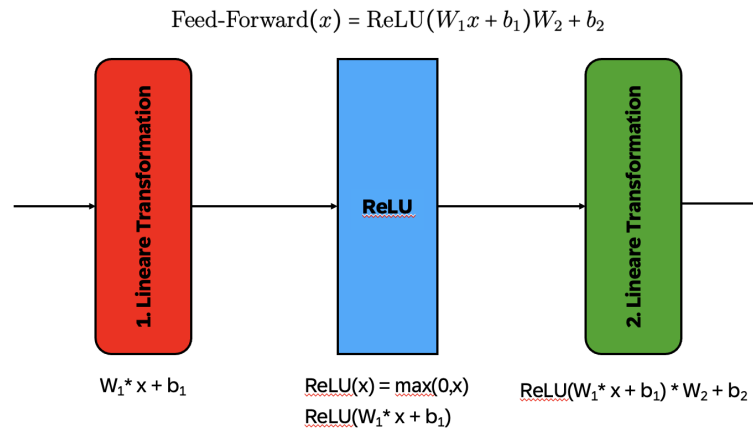


Abbildung 4.2: Feed-Forward-Schicht im Transformer

## 4.5 Encoder

Der **Encoder** übersetzt die Eingabewörter in eine abstrahierte Repräsentation (vgl. Vaswani u. a. 2017, S. 3). Ziel ist es hierbei, die semantischen und syntaktischen Informationen des Textes zu extrahieren und zu kodieren.

Am Beginn jeder Textverarbeitung wird, wie auch im vorherigen Kapitel beschrieben, der Eingabetext tokenisiert und in Embeddings umgewandelt. Anschließend werden einmalig Positional-Encodings hinzugefügt, die Positionsdaten der Tokens im Eingabetext ergänzen.

Nun werden diese Embedding-Informationen an die erste Encoder-Schicht weitergeleitet. Es sind mehrere Encoder-Schichten in einem Transformer implementiert (vgl. Vaswani u. a. 2017, S. 3). In einer Encoder-Schicht wird zunächst Multi-Head-Attention angewendet. Das Ergebnis der Multi-Head-Attention, also die relevanten, weiterzuanalysierenden Informationen über Tokens werden mit den ursprünglichen Eingabe-Embeddings der Encoder-Schicht der Addition und Normalisierung unterzogen.

Im zweiten Teil der Encoder-Schicht werden die Werte dann mit Feed-Forward-Komponente weiterverarbeitet (vgl. Vaswani u. a. 2017, S. 3). Am Schluss werden diese weiterverarbeiteten Werte noch einmal mit den Werten vor der Feed-Forward-Komponente addiert und normalisiert. Nun werden die Werte an die nächste Encoder-Schicht weitergegeben, welche die Prozedur wiederholt.

Nach der letzten Schicht liefert der Encoder eine kontextbewusste Darstellung der Eingabesequenz, in der jedes Token nicht nur seine ursprüngliche Bedeutung, sondern auch die relevanten Zusammenhänge mit

anderen Tokens der Sequenz berücksichtigt (vgl. Vaswani u. a. 2017, S. 3). Nun können diese Informationen an den Decoder weitergegeben werden.

## 4.6 Decoder

Der **Decoder** ist die zweite Komponente des Modells und nutzt die abstrahierte Repräsentation des Encoders, um passende Outputs zu generieren (vgl. Vaswani u. a. 2017, S. 3). In jeder Iteration berechnet er das nächste Token, das zum Output hinzugefügt werden soll, wobei er den zuletzt generierten Token als zusätzlichen Kontext berücksichtigt.

Zu Beginn eines Decoder-Zyklus wird, analog zum Encoder, der Eingabetext in Embeddings umgewandelt und mithilfe des Positional Encodings mit Positionsinformationen angereichert (vgl. Paaß und Hecker 2020, S. 213). Der Unterschied liegt jedoch darin, dass der Eingabetext in der ersten Iteration des Decoders nur aus einem „Start-Token“ besteht, da noch keine weiteren Tokens generiert wurden. Diese initialen Embeddings werden dann an die Decoder-Schichten weitergeleitet, wo die eigentliche Verarbeitung stattfindet.

Im ersten Schritt jeder Decoder-Schicht wird eine spezielle Variante von Multi-Head-Attention angewendet: die **Masked Multi-Head Attention** (vgl. Paaß und Hecker 2020, S. 213). Hierbei werden zukünftige Tokens durch eine Maske verdeckt, sodass der Decoder nur bereits generierte Tokens verwenden kann. Dies verhindert, dass der Decoder Informationen vorwegnimmt. Während des Trainings wird der Decoder mit der gesamten Zielsequenz versorgt, wobei durch Maskierung nur bereits bekannte Tokens sichtbar sind. Dies simuliert den schrittweisen Vorhersageprozess. Die Ergebnisse der Masked Multi-Head Attention werden anschließend mit den ursprünglichen Eingabewerten addiert und normalisiert.

Im zweiten Schritt wird erneut Multi-Head Attention angewendet, allerdings in einer modifizierten Form, die als **Cross-Attention** bezeichnet wird (vgl. Paaß und Hecker 2020, S. 212). Hier werden die Queries ( $Q$ ) regulär aus den Embeddings des Decoders berechnet, während die Keys ( $K$ ) und Values ( $V$ ) aus den Ergebnissen des Encoders stammen. Durch die separaten  $K$  und  $V$  aus dem Encoder kann der Decoder die im Eingabetext gespeicherten Kontextinformationen nutzen, um die Ausgabe gezielt zu steuern. Dies ist besonders wichtig, wenn der Eingabetext viele Details enthält, die in der Antwort berücksichtigt werden müssen. Die Ergebnisse der Cross-Attention werden ebenfalls addiert und normalisiert.

Im dritten Schritt durchlaufen die Werte eine Feed-Forward-Schicht, die die Berechnungen weiter verfeinert (vgl. Vaswani u. a. 2017, S. 3). Auch hier folgt eine Addition mit den ursprünglichen Werten und eine Normalisierung.

Die resultierenden Embeddings werden entweder an die nächste Decoder-Schicht weitergeleitet, um den Prozess zu wiederholen, oder sie werden für die Ausgabe vorbereitet (vgl. Paaß und Hecker 2020, S. 213). Bei der Ausgabe wird jedes Embedding einem Token aus dem Vokabular zugeordnet, das als ganze natürliche

Zahl dargestellt wird. Anschließend berechnet die Softmax-Funktion die Wahrscheinlichkeiten für alle möglichen Tokens und erzeugt dabei eine Wahrscheinlichkeitsverteilung über das gesamte Vokabular. Das Token mit der höchsten Wahrscheinlichkeit wird ausgewählt und zur finalen Ausgabe hinzugefügt (vgl. Paaß und Hecker 2020, S. 213). Dieses neue Token wird dann als Eingabe in den nächsten Decoder-Zyklus eingespeist. Der Vorgang wird fortgesetzt, bis der Decoder ein „End of Sequence“-Token (*EOS*) generiert, das das Ende der Ausgabe markiert.

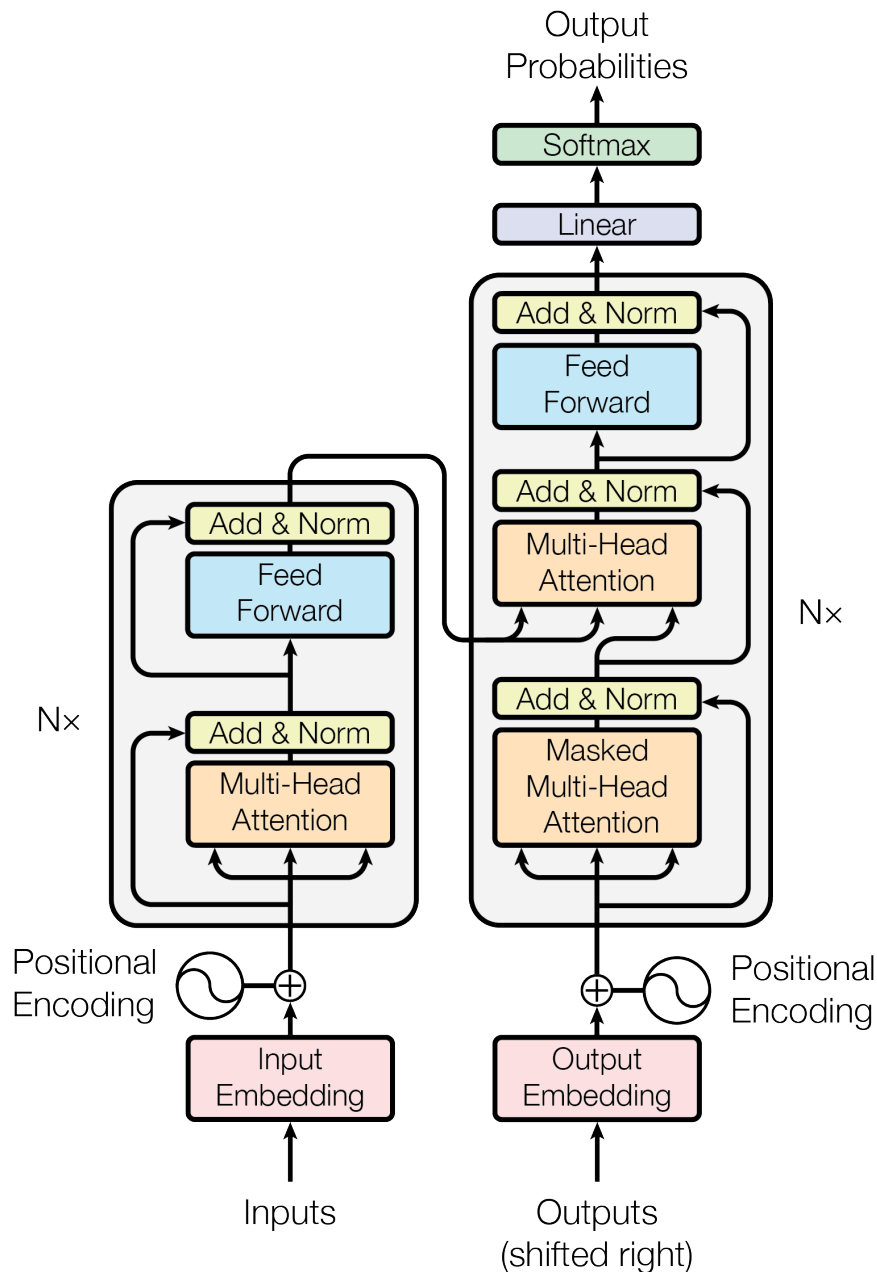


Abbildung 4.3: Transformer-Architektur aus Vaswani u. a. 2017, S. 3

## 5 Fazit

Transformer-Architekturen haben die Landschaft des maschinellen Lernens, insbesondere im Bereich der Textverarbeitung, revolutioniert. Durch den Einsatz von Self-Attention-Mechanismen und Multi-Head-Attention-Schichten können Transformer den Kontext von Tokens effizienter und umfassender erfassen als frühere Architekturen wie RNNs. Die Parallelverarbeitung ermöglicht es diesen Modellen, große Textmengen nicht nur schneller, sondern auch mit einer höheren Genauigkeit zu analysieren.

Das Ziel dieser Arbeit war es, die grundlegenden Konzepte der Transformer-Architektur im Kontext der Textverarbeitung einem Leser ohne umfangreiches Vorwissen zugänglich zu machen. Dieses Ziel wurde durch eine systematische und praxisnahe Darstellung der Schlüsselkomponenten wie Scaled Dot-Product Attention, Multi-Head Attention, Positional Encodings und der Feed-Forward-Schichten erreicht. Die detaillierte Beschreibung des Encoder-Decoder-Aufbaus verdeutlichte die Flexibilität der Architektur, Texte sowohl zu analysieren als auch zu generieren.

Darüber hinaus wurde anhand eines Beispiels die Funktionsweise des Attention-Mechanismus veranschaulicht, um die theoretischen Konzepte für den Leser greifbar zu machen. Die Analyse hat aufgezeigt, wie Transformer-Modelle den Kontext eines Textes erschließen, um übereinstimmende Tokens effizient zu gewichten und damit eine bessere semantische Analyse zu ermöglichen.

Besonders der Encoder-Decoder-Aufbau stellt eine zentrale Innovation dar. Der Encoder abstrahiert die Eingabetokens, indem er semantische und syntaktische Zusammenhänge lernt, während der Decoder diese abstrahierten Repräsentationen nutzt, um präzise und kontextuell passende Ausgaben zu erzeugen. Diese Trennung der Aufgaben erlaubt es, Text nicht nur zu klassifizieren, sondern auch generative Aufgaben wie maschinelle Übersetzung oder Textzusammenfassungen effizient umzusetzen.

Zusammenfassend hat diese Arbeit die Grundlagen der Transformer-Architektur erfolgreich vermittelt und damit das Verständnis der technologischen Fortschritte in der Textverarbeitung vertieft.

# Literaturverzeichnis

- Devlin, J. u. a. (2019). *BERT: Pre-training of Deep Bidirectional Transformers for Language Understanding*. <https://arxiv.org/pdf/1810.04805>. Zugriff am 8. Januar 2025.
- Feng, W. u. a. (2025). „Real-Time EEG-Based Driver Drowsiness Detection Based on Convolutional Neural Network With Gumbel-Softmax Trick“. In: *IEEE Sensors Journal* 25.1, S. 1860–1871.
- Kinnebrock, W. (2018). *Neuronale Netze : Grundlagen, Anwendungen, Beispiel*’. 2., aktualisierte und erweiterte Auflage 2018. Berlin: Berlin Boston Oldenbourg Wissenschaftsverlag.
- Paaß, G./ D. Hecker (2020). *Künstliche Intelligenz: Was steckt hinter der Technologie der Zukunft?* Wiesbaden: Springer Fachmedien Wiesbaden. URL: <https://doi.org/10.1007/978-3-658-30211-5>.
- Vaswani, A. u. a. (2017). *Attention Is All You Need*. <https://arxiv.org/abs/1706.03762>. Zugriff am 20. Dezember 2024.
- Xiong, R. u. a. (2020). *On Layer Normalization in the Transformer Architecture*. <https://doi.org/10.48550/arXiv.2002.04745>. Zugriff am 8. Januar 2025.